

# Modelagem do Sistema de Resposta Inflamatória por meio de Equações Diferenciais Ordinárias

Rodrigo José Zonzin

12 de novembro de 2024

## 1 Quesitos

O presente trabalho busca responder aos seguintes quesitos:

1. Qual a importância da resposta anti-inflamatória?
2. Foram obtidos comportamentos onde a resposta anti-inflamatória foi efetiva em controlar a inflamação?

## 2 Métodos

### 2.1 Modelagem Matemática

#### 2.1.1 Modelo sem respotsa inflamatória

A Figura 1 apresenta o diagrama de resposta inflamatória a uma ferida cutânea. De acordo com o modelo, as variáveis  $TD(t)$ ,  $N(t)$  e  $CH(t)$  representam o dano tecidual, a concentração de neutrófilos e a concentração de citocinas pró-inflamatórias, respectivamente, em função do tempo.

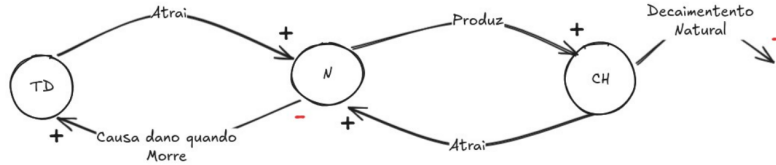


Figura 1: Diagrama da ação inflamatória

Para o dano tecidual, o modelo é positivamente impactado pela concentração de neutrófilos mortos. Matematicamente, esse comportamento é descrito pela variável  $N(t)$  multiplicada por um coeficiente  $\alpha$ , como na Equação 1.

$$\frac{dTD(t)}{dt} = \alpha N(t) \quad (1)$$

A concentração de neutrófilos é dada em termos de todas as variáveis do modelo. O dano tecidual atrai a resposta inflamatória, aumentando a concentração de neutrófilos no local da ferida. Esse comportamento é mapeado pelo coeficiente  $\beta$ . Além disso, as citocinas pró-inflamatórias aumentam a concentração de  $N(t)$  por um fator  $\gamma$ . Por outro lado, a morte celular de  $N(t)$  deve diminuída do valor corrente de  $N(t)$  na mesma proporção que é acrescida em  $TD(t)$

$$\frac{dN(t)}{dt} = \beta TD(t) + \gamma CH(t) - \alpha N(t) \quad (2)$$

Para a concentração de citocinas pró-inflamatórias, considera-se a produção induzida por  $N(t)$  na região considerada (controlada pelo coeficiente  $\rho$ ). De forma semelhante, o decaimento natural das citocinas é controlado pelo coeficiente  $\sigma$ .

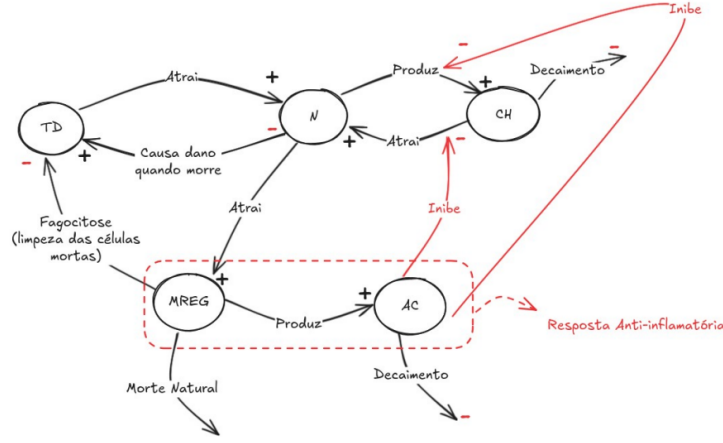


Figura 2: Diagrama do sistema fisiológico com resposta inflamatória

$$\frac{dCH(t)}{dt} = \rho N(t) - \sigma CH(t) \quad (3)$$

### 2.1.2 Modelo com resposta anti-inflamatória

$$\frac{dTD(t)}{dt} = \alpha N(t) - u_{reg} M(t) \quad (4)$$

$$\frac{dN(t)}{dt} = \beta TD(t) + \frac{\gamma CH(t)}{(1 + \mu_A A(t))} - \alpha N(t) \quad (5)$$

$$\frac{dCH(t)}{dt} = \frac{\rho N(t)}{(1 + \alpha_A A(t))} - \eta_{CH} CH(t) \quad (6)$$

$$\frac{dM(t)}{dt} = v N(t) - \eta_M M(t) \quad (7)$$

$$\frac{dA(t)}{dt} = w_{reg} M(t) - \eta_A A(t) \quad (8)$$

## 2.2 Estratégias de simulação computacional

Para a resolução dos sistemas de EDOs, utilizou-se o método de Runge-Kutta de quarta ordem (RK4). O método para um PVI é descrito como segue.

$$\begin{cases} \frac{dy}{dt} = f(t, y) \\ y(t_0) = y_0 \end{cases} \quad (9)$$

Podemos deduzir as equações para  $y$  como segue.

$$y_{n+1} = y_n + h/6(k_1 + k_2 + k_3 + k_4) \quad (10)$$

$$t_{n+1} = t_n + h \quad (11)$$

onde os coeficientes  $k_1, k_2, k_3, k_4$  são dados por:

$$\begin{aligned} k_1 &= f(t_n, y_n) \\ k_2 &= f(t_n + h/2, y_n + h/2k_1) \\ k_3 &= f(t_n + h/2, y_n + h/2k_2) \\ k_4 &= f(t_n + h, y_n + hk_3) \end{aligned}$$

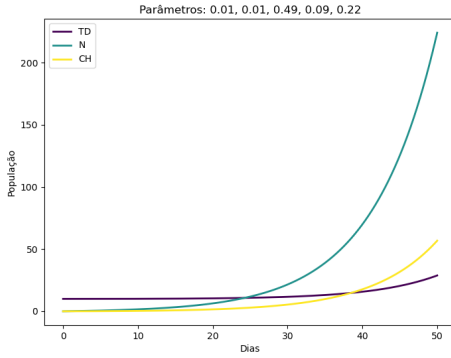
### 3 Resultados

#### 3.1 Modelo sem resposta inflamatória

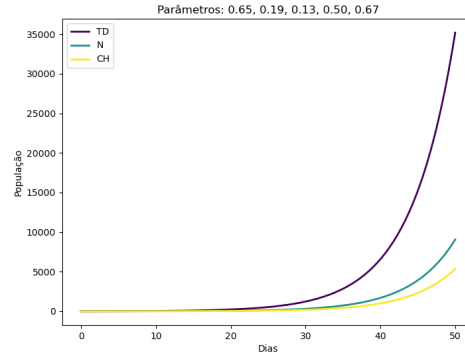
Para este modelo, testaram-se diversos parâmetros afim de se caracterizar um comportamento geral das equações. A figura a seguir apresenta os resultados obtidos para 8 simulações com parâmetros distintos do modelo 2.1.1.

Como se observa, todas as variáveis são estritamente crescentes. Para o caso de  $TD(t)$ , esse comportamento é muito claro pois se trata de uma instância do modelo exponencial. De forma similar,  $CH(t)$  e  $N(t)$  crescem sem limitação.

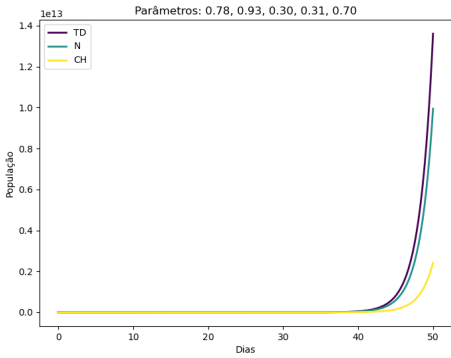
Esse resultado indica que a ausência de resposta inflamatória é determinante para a dominância da inflamação. Sem a modalização das equações do modelo, ter-se-á um comportamento sempre crescente nas imagens de  $TD(t)$ ,  $CH(t)$  e  $N(t)$ .



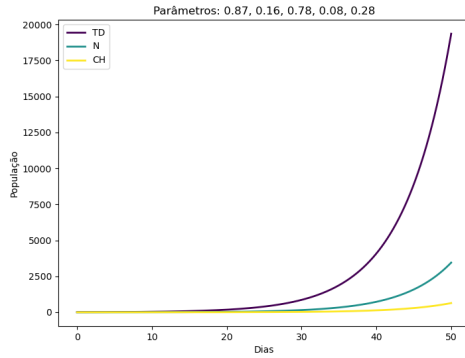
(a)



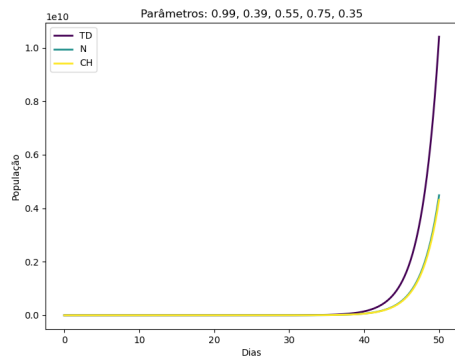
(b)



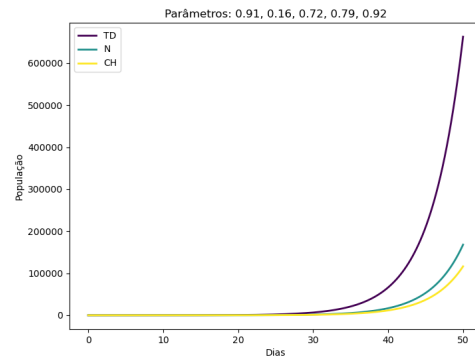
(c)



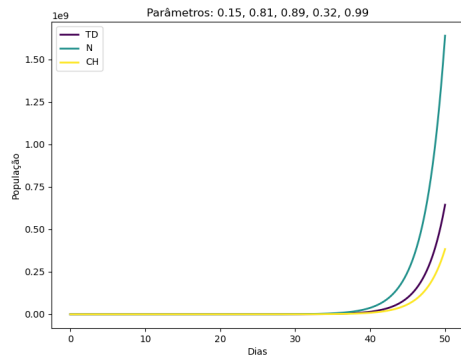
(d)



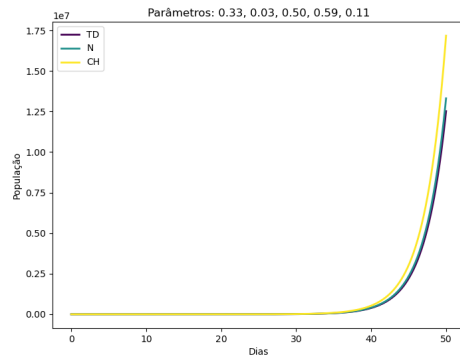
(e)



(f)



(g)



(h)

Figura 3: Comportamento do modelo sem resposta inflamatória

### 3.2 Modelo com resposta inflamatória

De forma semelhante, os experimentos a seguir (Figura 4) apresentam o comportamento do modelo com resposta à inflamação para diferentes valores dos parâmetros.

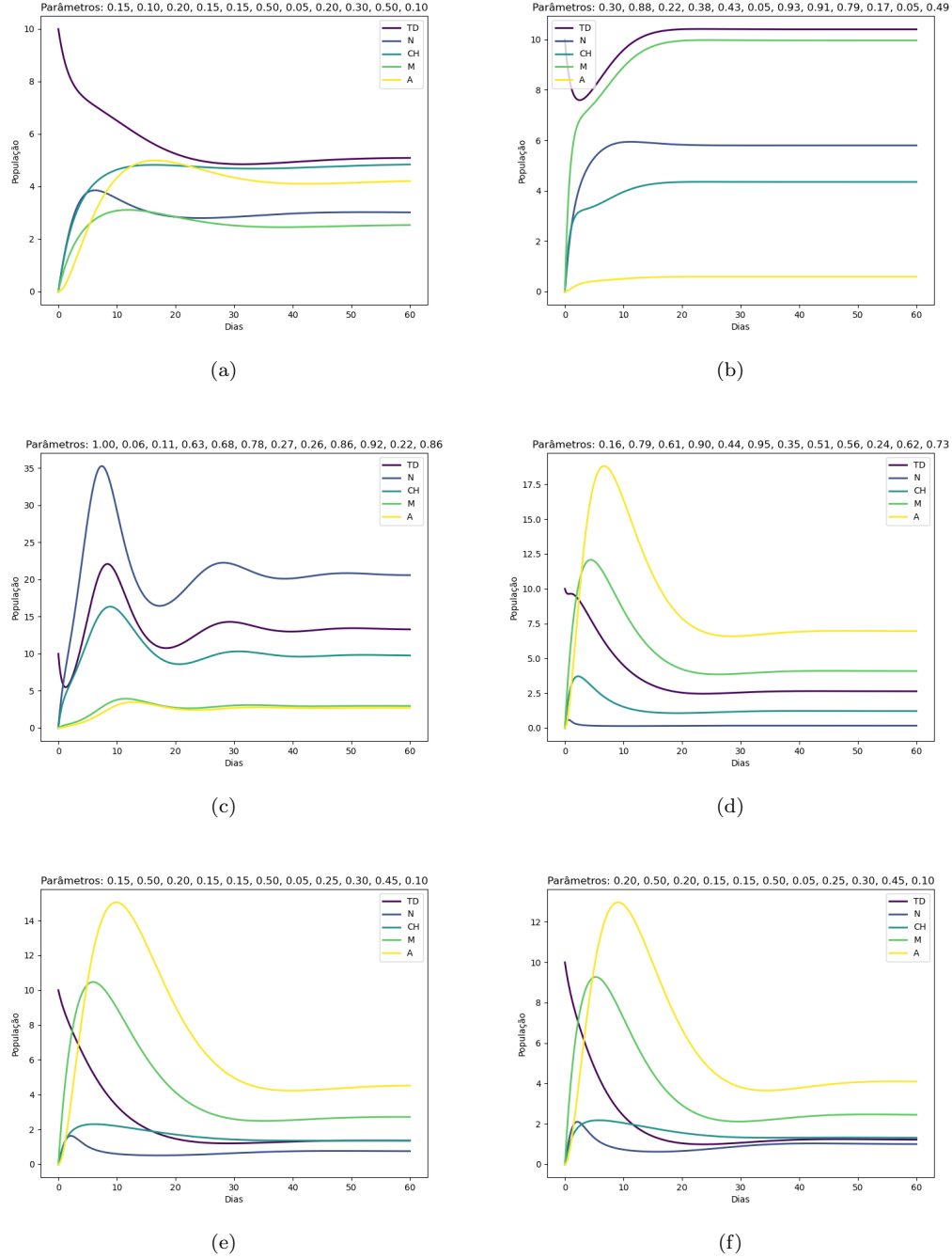


Figura 4: Modelo com resposta inflamatória

## 4 Resposta aos Quesitos

1. Qual a importância da resposta anti-inflamatória?

**Resposta:** Sem a inclusão dos termos  $M$  e  $A$  no modelo, observa-se um crescimento sempre

crescente das variáveis. Fisiologicamente, isto pode significar que, uma vez iniciado o processo inflamatório, não há como interrompê-lo sem intervenção externa.

2. Foram obtidos comportamentos onde a resposta anti-inflamatória foi efetiva em controlar a inflamação?

**Resposta:** Sim. Nas Figuras 4(e) e 4(f), observa-se que  $CH(t)$  e  $N(t)$  decaíram até zero.